

مقارنة بين طريقي (GIUH - SCS-CN) لتقدير حجم الجريان السطحي لحوض وادي دويريج باستخدام (GIS)

د.اسحق صالح العكام*

جامعة بغداد - كلية التربية للبنات

**وزارة التربية

الخلاصة

بعد وادي دويريج من احواض التصريف المهمة التي تقع شرق العراق، لذا قمنا في هذه الدراسة بتطبيق نموذجين رياضيين على الاحواض الثلاثة للوادي للوصول الى اكثرب القيم دقة لتقدير حجم الجريان السطحي وذروه التصريف وزمن الذروه ، ومن خلال الاستعانة بتقنية الاستشعار عن بعد ونظم المعلومات الجغرافية (GIS)، وقد تبين من خلال تطبيق النموذجين ان اقصى كمية تصريف سجلت لحوض وادي دويريج الرئيسي بقيمة (1052/م³/ث) حسب معادلة (SCS-CN) ونحو (1370.2/م³/ث) حسب (GIUH) بفارق فاره (381.2/م³/ث)،وياتي هذا الفارق في كمية التصريف الى ان طريقة (SCS-CN) ليست دقيقة كما معادلة (GIUH) إذ تشير نتائج الدراسة الميدانية المأخوذة من تقرير وزارة الموارد المائية /قسم السدود والخزانات الى ان حجم الجريان السطحي قدر بنحو (1280/م³/ث) وبذلك فأن هذه القيمة اقرب الى نهج (GIUH).

Compared to Estimate the volume of runoff Basins valley Dwiridj my way (SCS-CN), (GIUH) using (GIS)

Dr. Isaac Saleh Alakam*

Nawal kamel alwan**

*University of Baghdad - College of Education for women

**Ministry of Education

Abstract

The valley Dwiridj of drainage basins task that lies east of Iraq and thus we have in this study the application of tow models athletes on the three basins of the valley to get More values accurate to Estimate the volume of runoff and peak discharge and time climax and through the use of Technology remote sensing (GIS),has been show through the application of both models, that the maximum value for the amount of Dwiridj valley of (1052/m³/s) According to Equation (SCS-CN) and about (1370.2/m³/s)by approach (GIUH) that difference is the amount of discharge to the Equation (SCS-CN) ar not accurate as(GIUH) approaches Equation ecalling the results of the Field ces Department of damand reservoirs that the volume of runoff to the valley wase estimated at (1280/m³ /s)and so this resultis is closer to the approach (GIUH).

المقدمة

أن استثمار الموارد المائية السطحية وأدارتها يتطلب نماذج هيدرولوجية لحساب كمية الجريان السطحي للاحواض المائية واختبار النماذج الأفضل في تحديد معالمها من اجل تطوير الجريان السطحي المباشر (DRH)، وهنار در طریقتین (SCS-CN) که تعتمد علی رقم المنحی (CN) و(GIUH) نتائج الجريان السطحي من تصريف معامل التخزين (R) ، الذي يعتمد علی تقنية الانحدار البسيط مع الاخذ بنظر الاعتبار خصائص الاحواض المائية والمدخلات الهيدرولوجية.

مكانيا يقع وادي دويريج وهو من الأودية الموسمية التي ينخفض منسوبه بشكل كبير في فصل الصيف ضمن محافظة ميسان جنوب شرق العراق بين دائري عرض 30°0'0" و 30°32'0" شمالي خط طول 47°1'0" - 47°48'0" شرقا داخل الأراضي الإيرانية ضمن جمهورية ايران الإسلامية، إذ ان اغلب مساحة حوض تصريفه البالغ 95% يقع داخل الحدود الإيرانية والمتبقى 5% يقع داخل الاراضي العراقية، (خريطة رقم 1)، يتغذى الوادي من مياه الامطار والثلوج المنحدره من الجبال الحدودية، وقد قسم الحوض البالغ مساحته

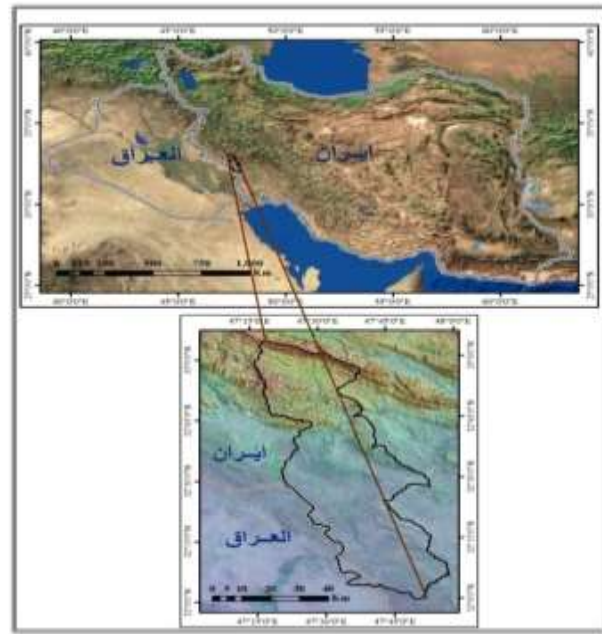
(3537) كم2 الى ثلاث احواض ، خريطة رقم (2)، والهدف من ذلك لمعرفة أي الاحواض اكثر قدره في تغذية الحوض الكلي وايدهما قدره على توليد جريان سطحي اعلى والكشف عن الأماكن المعرضة لخطر الفيضانات.

خريطة رقم (2)
احواض منطقة الدراسة



المصدر: المرئية الفضائية للقمر Landsat لسنة 2013

خريطة رقم (1)
حوض وادي دويريج



المصدر: المرئية الفضائية للقمر Landsat، لسنة 2013

الوضعية الطبيعية لحوض منطقة الدراسة.

ترجع منطقة الدراسة الى الاصطدام الذي وقع في اواخر العصر الطباشيري بين الصفيحتين العربية والابراهية بعد ان كان بحر تيش يغطيها ثم انحسر هذا البحر وامتنى بالترسبات، وهذا ما تشير اليه الصخور النارية والمحولة في العمق الإبراهي، وبفعل الضغط الناشئ على الوحدات التكتونية للصفيحتين تكونت طيات محدبة تعرضت الى التعرية الشديدة مزيلة جزء كبير منها و كنتيجة لحدث الحركات الأرضية العميقه التي تعرضت لها المنطقة تكونت تضاريس أرضية عميقه، متمثله بجبال زاكروس وعلى امتداد الشمال الشرقي للعراق والجنوب الغربي لجمهورية ايران الإسلامية وهي اخذه بالارتفاع حتى وقتنا الحاضر بفعل افتتاح البحر الأحمر⁽¹⁾، (شكل رقم 1)، وتضم منطقة الدراسة تكوينات صخرية ورواسب ذات بيئات مختلفة منها ما هو ذو اصل بحري واخر نهري وريحي، كما تتميز بوجود تجمعات جيرية ضئيله وصخور ذات غالبية دولوماتية تعود الى حقب الحياة الوسطى وأخرى تكوينات جيولوجية ترجع الى الزمن الثالث، وتمثل المدملكات الناتجة عن التطور البناي لعصر الميوسین الأسفل وطبقات من الجبس والمارل والحسبي وطبقات رملية ذات مسام.

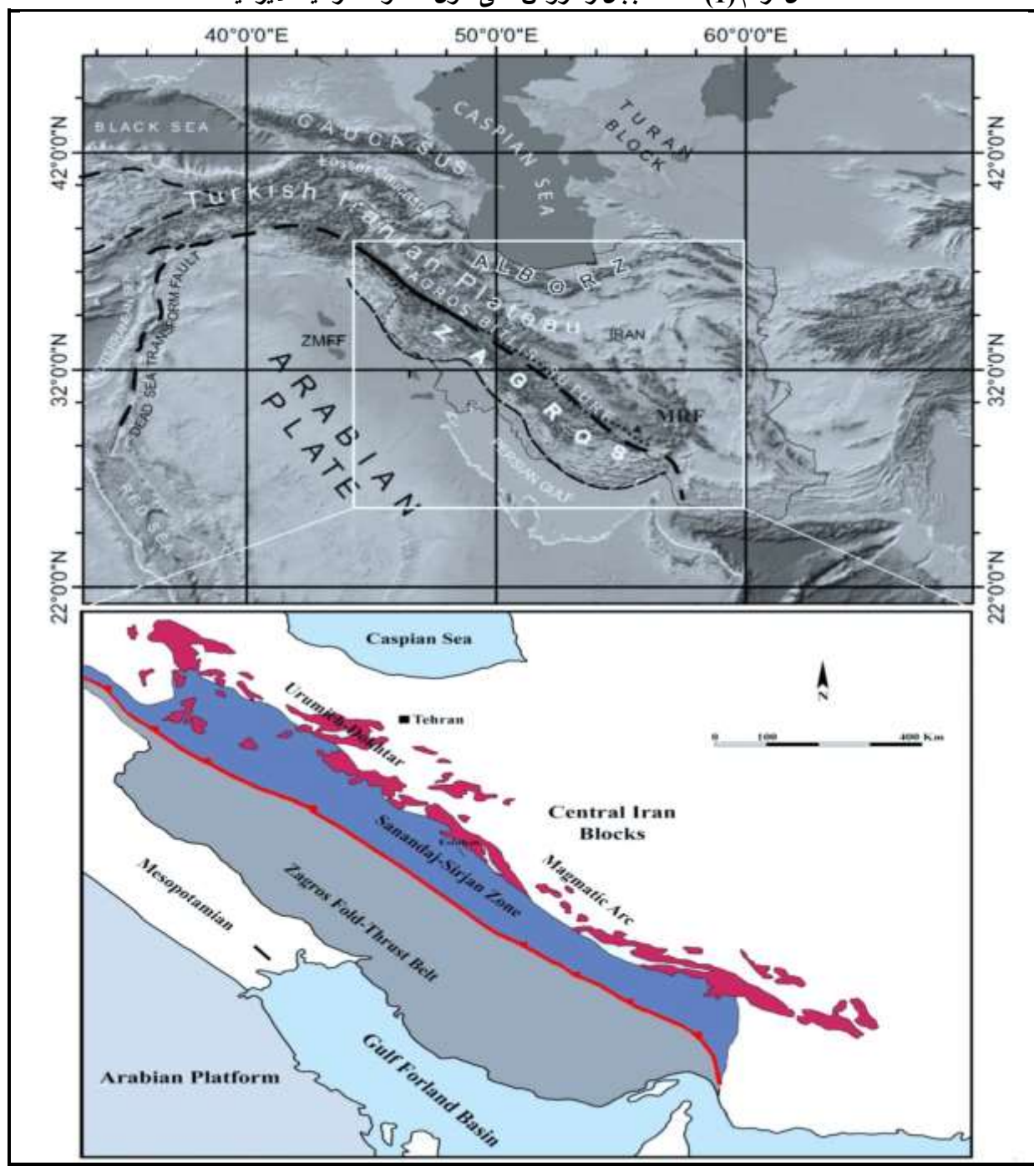
من ناحية البناء التركيبی فأن وادي دويريج يقع ضمن حافات الانطمة الثانوية لمجرى نهري دجلة والفرات اللذان يعدان جزءاً من السهل الروسي البنيوي والعائد الى الرصيف الغير مستقر مع وجود فوائق عميقة تحت سطحية⁽²⁾.

مناخ منطقة الدراسة :

بعد المناخ من اهم العوامل المؤثرة على الخصائص الهيدرولوجية وخاصة كمية الجريان السطحي اذ تقع منطقة الدراسة ضمن المناخ الجاف والشبه الجاف فيسود المناخ الشبه الجاف الأقسام الشمالية والمناخ الجاف الجنوبيه، ويرجع سبب جفاف منطقة الدراسة الى بعدها عن الرياح الرطبة إذ تفقد هذه الرياح رطوبتها لمرورها بمناطق مختلفة⁽³⁾، وهذا ينعكس بشكل سلبي على كمية الامطار التي يستقبلها الحوض والتي تتصرف بتذبذبها وعدم انتظام سقوطها على المستوى اليومي والشهري والسنوي كما انها تتباين على المستوى المکاني ،إذ ان الجهات الشمالية للحوض عند المتابع العليا هي الاكثر امطاراً ، ثم تبدأ معدلات سقوط الامطار بالتناقص كلما اتجهنا نحو الجنوب عند مخرج الحوض ،على ان هذا التوزيع في كميات سقوط الامطار يتواافق مع تضاريس الحوض ،فالمناطق الاكثر ارتفاعاً في الأجزاء الشمالية للحوض حظيت بأعلى معدلات الامطار ،اما مناطق اسفل الحوض المنبسطة فهي اقل كمية من الامطار، وبذلك فأن الجريان السطحي يزداد في المناطق المرتفعة التي تساعده على انسياح المياه الى مخرج الحوض بسرعة وبدون ان تتعرض الى نسبة من الفوائد كالتسرب والتبخّر ، بينما ي يحدث العكس في المناطق المنبسطة ، وقد يتعرض الجريان السطحي الى الجفاف مدة فصل او اكثـر ، وهذا يرجع الى قلة الامطار الساقطة ،إذ يلاحظ ان كمية المياه تكون معدومة في فصل الصيف

لارتفاع درجات الحرارة وندرة الامطار (صورة رقم 1) إما في شهر سقوط الامطار الذي يمثل فصل الشتاء والربع فيمليء مجاري الوادي بالمياه ، ومع ارتفاع منسوب المياه الجارية تبدأ السيول لتعطي مساحة الحوض (صورة رقم 2).

شكل رقم (1) امتداد جبال زاگروس على طول الحدود العراقية الإيرانية



المصدر:

Sarmad Ali and other, tecton – stratigraphy and general structure of the Iraq – Iran north western Zagros collision zone across the Iraq – Iran border, Journal of Environment and Earth Science – vol. 4 No – 4, 2014, P-92 – 94.

صورة رقم (1) المجرى النهري في فصل الجفاف



المصدر: ناحية دويريج بالقرب من جسر أبو عبيده ،دائرة المهندس المقيم 6/15/2012.

صورة رقم (3) طغيان مياه السيول في فصل تساقط الامطار



المصدر: الدراسة الميدانية بتاريخ 2013/5/3.

تقدير حجم الجريان السطحي لأحواض منطقة الدراسة باستخدام معادلتي (GIUH) (SCS-CN)

لتقدير الجريان السطحي بالطريقتين تم الاعتماد على عشر زخات مطرية لعشرين سنة (جدول رقم 1)،
جدول رقم (1) أعلى كمية أمطار يومية ساقطة خلال عشر سنوات لمحطة ايلام للمدة 2001-2010م.

السنوات											
2010	2009	2008	2007	2006	2005	2004	2003	2002	2001	أعلى كمية أمطار يومية ملم	
76	88	102	172	32	36	54	71	83	98		

المصدر:-

- 1- كروه وشناسي ایران بارش ، روزانه در استکاه وارد های منتشره نشره اب و هوای ایلام، 2012.
- 2- مجید منتظری ، تحلیل زمانی و مکانی بارش های فرین روزانه در ایران ، مجله جغرافیا و برنامه ریزی محیطی، 2011.

1. تقدير ارقام موديل (SCS-CN) model (SCS-CN)

فرضية صيانة التربة الامريكية (SCS-CN) والمعتبر (Soill Conservtion) والتي تسمى الان هيئة حفظ الموارد الطبيعية والخدمات العام (NRCS) والتي تستخدم لوصف جريان الامطار المختلفة لمنطقة الصرف، فهي تستخدم العديد من الطبقات ، منها استخدام الأرض نوع التربة ، ورطوبة التربة التي تسبق سقوط الامطار، اما العلاقة الرياضية لهذه الفرضية فهي كالاتي ⁽⁴⁾ ،

$$Q = (P - Ia)^2 \dots \dots \dots \dots \dots \quad (1)$$

حيث ان (Q) عمق الجريان السطحي / بالبوصة، (P) الامطار الساقطة / بالبوصة، (Ia) الفاقد الأولية للجريان/ بالبوصة، على ان قيمة (S) في هذه العلاقة تمثل نوع الغطاء النباتي وكيفية استثماره للأرض عن طريق نفاذية التربة ، إذ ان لسقوط الامطار المتالية تأثير مباشر على التقليل من قيمة (S) وهي لا تعطي للتربة فرصه للنفاذية ، ولذلك فهي لا تسمح بنشوء جريان سطحي عالي لأن التربة لا تستطيع ان تستوعب قدرًا كبيراً من المياه وعليه فان هذه المناطق تكون بأمان من خطر السيول ، وعلى أساس معادلة رقم (1) تصبح معادلة عمق الجريان السطحي كالاتي:

$$Q = (P - 0.2S)^2 / P + 0.8 S \dots \dots \dots \dots \dots \quad (2)$$

وبشكل عام فان قيمة (S) ترتبط بالرطوبة السابقة للتربة كما ان الوسيط (S) يرتبط بقيمة المنحني (CN) وتحسب قيمة (CN) من خلال المعادلة رقم (3) ،

$$S = \frac{2400}{CN} - 254 \dots \dots \dots \dots \dots \quad (3)$$

حيث ان رقم المنحني (CN) تتراوح قيمته من (0-100)، هذا وتستخرج القيمة الكلية ل (CN)، (Curve Number) للوحوض من خلال ضرب مساحة كل منطقة للوحوض بقيم (CN) المستخرجة من جداول خاصة بها ومقسومة على المساحة الكلية للوحوض ، ويمكن صياغة المعادلة بالشكل التالي ⁽⁵⁾ :

$$CN = \frac{CN_1 * A_1 + CN_2 * A_2 + CN_3 * A_3 + \dots + CN_5 * A_5}{\sum_{i=1}^n A_i} \dots \dots \dots \dots \dots \quad (4)$$

ولغرض إيجاد قيم (CN) لأحواض منطقة الدراسة فقد تم الاستعانة بأنواع الترب الهيدرولوجية للوحوض ، إذ قسمت هذه الفرضية الترب الى أربعة أصناف (A,B,C,D) ، وبالاعتماد على الخصائص الفيزيائية للتربة مثل نسجة التربة وتركيبها وعمقها وخربيطة تربة المنطقة فإن ترتيبها تمثل الأصناف الأربع جدول رقم (2)، على ان اعلى قيمة (CN) سجلت لوحوض دويريج الرئيسي بقيمة (85) وانخفطها (83.3) لوحوض رقم (3)، إما قيم حجم الجريان السطحي فتستخرج من خلال المعادلة التالية ⁽⁶⁾ ،

$$QT = QA \dots \dots \dots \dots \dots \quad (5)$$

حيث ان (QT) حجم الجريان السطحي / م³/ثا و(Q) عمق الجريان السطحي / م (A) المساحة الكلية للوحوض /كم²، ومن تطبيق معادلة رقم (5) والاستعانة بمعادلة رقم (2)، فإن اقصى قيمة لحجم الجريان السطحي سجلت لوحوض دويريج الرئيسي لسنة (2007) لزخة مطرية قدرها (172/ملم) وادناها لسنة (2006) لزخة مطرية قدرها (32/ملم) بينما بلغ مجموع حجم الجريان السطحي لوحوض دويريج الرئيسي نحو (1066.7/م³/ثا) ووحوض رقم (1,2) نحو (276.72/م³/ثا)، ووحوض رقم (3) نحو (158.91/م³/ثا)، على التوالي يلاحظ جدول رقم (3) ،

جدول رقم (3) قيم (CN) الكلية وحجم التصريف لأحواض منطقة المدرسة

النسبة %	حجم التصريف(م ³ /ثا)	القيمة الكلية ل (CN)	مساحة الوحوض/كم ²	اسم الوحوض
71	1066.7	85	2487	دوريريج الرئيسي
18.42	276.7	84.6	654	وحوض رقم (1)
10.58	158.91	83.3	396	وحوض رقم (2)
			3527	المجموع

المصدر : المرتبة الفضائية بالاعتماد على القمر landsat باستخدام برنامج Arc 9.3 لسنة 2013.

على ان هذا التباين في كمية الجريان السطحي لاحواض منطقة الدراسة يرجع الى الاختلاف في مساحة الوحوض فضلا عن الاختلاف في الصخور ودرجة نفاديتها وانحدراتها.

جدول رقم (2) المجموعات الهيدرولوجية للتربة

مكونات التربة	عمق التربة	نوع التصريف	% النسبة	المساحة / كم 2	نوع التربة	الفئة
تمثل رمل عميق مع قليل من الغرين وطبقة من الطين العميق	قليل	ضعيف	8.3	576	رمليه	A
طبقة رملية اقل عمق من الصنف (A) ولها معدل عالي من النفاذية	متوسط	جيد	36.2	1286	كستنائية + غرينية خشنة	B
تحوي على ترب ضحلة وبنسب معقولة من الطين والغرويات ولها معدل اقل من النفاذية بعد تشعث التربة	فوق الوسط	فوق الوسط	13.1	462	غرينية ناعمة	C
تمثل نسبة عالية من الطين وكذلك تمثل طبقة من الترب الضحلة مع خرى غير نفاذ قرب السطح	عالي	عالي	34.4	1211	الحجيرية وتربة	D

المصدر: 1. ج اشوب، ر. ك فريفورت، ان واد سنتر، لك بارنز، ترجمة د علي عبد فهد، هندسة صيانة التربة والمياه وزارة التعليم العالي والبحث العلمي، جامعة بغداد 1966، ص 150.

2. بالاعتماد على خريطة التربة والاستعانة بالمرئية الفضائية والاعتماد على القمر landsat باستخدام برنامج Arc GIS 9.3 لسنة 2013.

حساب زمن التركيز (TC) وذروة التصريف (q_p) وزمن الذروة لمعادلة (SCS- CN)

يعبر زمن التركيز عن المدة الزمنية اللازمة للماء حتى يجري من بعد نقطة في الحوض إلى المخرج، ومع ان العاملين في الحقل الهيدرولوجي لا يتتفقون حول افضل طريقة لحساب زمن التركيز، فموكس (Mockus) قد نظم منحنى بيانياً لحساب زمن التركيز والذي يأخذ بنظر الاعتبار طول القناة الرئيسية وطبوغرافية المنطقة والغطاء النباتي ومعدل الترشيح⁽⁷⁾ ، اما حساب معادلة زمن التركيز بدالة قيمة (CN) فهي⁽⁸⁾ :

$$Tc = 0.057 \frac{L^{0.8} \left[\frac{2500}{CN} - 228.6 \right]^{0.7}}{\sqrt{g}} \dots\dots\dots (6)$$

حيث ان (Tc) زمن التركيز بالساعة، (L) طول الحوض بالكم، (CN) منحني الارقام، (g) معدل الانحدار %، ويستدل من القيم (Tc) المستخلصة من المعادلة رقم (5)، ان اعلى قيمة مسجلة لزمن التركيز لحوض وادي دويريج الرئيسي اذ بلغت (8.5/ساعة) واقلها في حوض رقم (1) وبالنسبة (3.8/ساعة)، (جدول رقم 4)، وهذا يشير الى ان حوض رقم (1) ذو دلالة قيadian عالية لقصر المسافة التي يقطعها الجريان السطحي فيه وهذا راجع الى صغر مساحته وطوله على عكس حوض دويريج الرئيسي وحوض (2)، اما ذروة التدفق الاقصى (q_p) فتعرف بأنها الفترة الزمنية ما بين حدوث الجريان السطحي حتى وصوله الى الذروة، ويستخرج التدفق الاقصى للجريان من النموذج الرياضي التالي⁽⁹⁾ :

$$q_p = \frac{CA}{t_p} \dots\dots\dots (7)$$

حيث ان (q_p) تمثل ذروة التدفق الاقصى بالساعة، و(C) تساوي (2.08)، (A) مساحة حوض التصريف بالكم² (t_p) زمن الذروة بالساعة، ونستخرج زمن الذروة من معادلة رقم (7) :

$$t_p = 0.6 \times Tc \dots\dots\dots (8)$$

حيث ان (0.6) رقم ثابت، (Tc) زمن التركيز، وقد قدرت قيم(q_p) حسب معادلة (6) ما بين (1014.4 m³/ثا) لحوض دويريج الرئيسي و (596.6 m³/ثا) و (269.1 m³/ثا) لكل من حوض رقم (1، 2) على التوالي، جدول رقم (4)، ولحساب زمن استجابة الحوض لسقوط الامطار (t_p) نستخدم معادلة رقم (8):

$$t_{p=0.6Tc} \dots\dots\dots (8)$$

ومن معادلة رقم (8) نلاحظ تباين قيم زمن الذروة فسجلت اعلاها لحوض دويريج الرئيسي ثم حوض رقم (1، 2) نلاحظ جدول رقم (4)،

جدول رقم (4) زمن التركيز وذروة التصريف وزمن الذروة لحوض دويريج الرئيسي وحوض رقم (1، 2) لمعادلة

(SCS)

الاحواض	المساحة km ²	زمن التركيز Tc /بالساعة	ذروة التصريف q _p / m ³ /ثا	زمن الذروة t _p /بالساعة	درجة الانحدار%
حوض دويريج الرئيسي	2487	8.5	1014.4	5.1	0.11
حوض رقم 1	654	3.8	596.6	2.28	0.07
حوض رقم 2	396	5.1	269.1	3.6	0.24

المصدر: 1. المرتبة القضائية بالاعتماد على القمر Arc Cis q.3 Landsat باستخدام برنامج Arc 2013.

2. بالاعتماد على المعادلات الحسابية.

(GIUH)

ان نهج (GIUH) هو وظيفة لربط اطوال المراتب العليا وحسب الاتجاه العام لاطوال مجاري المراتب⁽¹⁰⁾ ، ويقوم هذا النهج على ربط الجيومورفولوجيا الكمية مع خصائص الحوض المائية التي تساعده على ايجاد طريقة لفهم هيدرولوجية وسلوك الاحواض المائية الغير مقاسة، ولهذا فقد بذلت جهود حثيثة من قبل الباحثين في هذا المجال لإيجاد العلاقة ما بين الاحواض الغير مقاسة وخصائص الاحواض القابلة للقياس ومن هؤلاء (Valdez, 1969, Snyder, 1958) ، على ان نموذج مثل (GIUH) هو نموذج فعال لمحاكاة عملية جريان الامطار والسيول، ومن خلال الاعتماد على التوزيع الزمني لسقوط الامطار وتعديلها الى قيم تمثل تصارييف الجريان السطحي والمتمثلة بقيمة (Tc,R) ، مع التأكيد على الصفات المميزة لأحواض التصارييف المائية لتقدير المسؤولية المائية التي تعتمد بدورها على قيم بعض خصائص الشبكة النهرية والمساحية الموضحة في جدول رقم (5)، والتي لها علاقة ببعض القوانين الرياضية لموضوع البحث.

تقدير الارقام الجيومورفولوجية لأحواض منطقة الدراسة

تعد المتغيرات الجيومورفولوجية للأحواض المائية على جانب كبير من الاهمية لدلائلها المتعددة إذ تعكس التوازن الطبيعي بين انواع الصخور والبيئة والظروف المناخية ولتقييم الخصائص الجيومورفولوجية للحوض استخدم قانون سترايلر (Strahler, 1956) مع الاستعانة ببرنامج GIS وهي كالتالي.

مساحة حوض التصريف Daring Basin Area

يعتبر هذا المتغير من الخصائص المورفومترية الهامة والمؤثرة على كمية التصريف المائي للحوض، اذ توجد علاقة طردية ما بين مساحة الاحواض الصغيرة وكمية التصريف، وعكسه للأحواض الكبيرة، فمساحة الحوض تعني امتداده الى اقاليم مناخية متباعدة وتتنوع في كمية وفصليّة الامطار برفاق ذلك زيادة في كمية المياه التي يستقبلها الحوض، على افتراض ثبات بقية المتغيرات الاخرى كنوع الصخور والانحدار، اما تأثير مساحة الحوض على الفيضانات فأنها سلبية اذ كلما زادت مساحة الحوض زادت اعداد مجاريه واطولها (يلاحظ جدول رقم 5)، وقل بذلك حجم ومقدار الفيضانات وازدادت نسبة الفاقد (Loss), لطول الفترة الزمنية اللازمة لتصريف الحوض.

طول حوض التصريف Draing Basin Length

يؤدي الطول دوراً مهماً في الجريان السطحي اذ يتحكم بمدة تصريف الحوض لمياهه ويحدد كمية المياه الوافدة والتتساقط والانحدار، ولطول الحوض دلالات هيدرولوجية وجيمورفولوجية تمثل الاختلافات في الخصائص الطبيعية مما ينعكس على الاختلافات في عرض وشكل الحوض ومدة تفريغ الحوض لمياهه ومعدلات التسرب على ان هذا لا يعني زيادة في كمية التصريف لاحواض ذات الاطوال الكبيرة بل هو ناتج عن خصائص هذه الاحواض هذه النظام المطري الفيسي، والناتجة عن فجائحة وغزارة الامطار في المناطق الجافة وشبه الجافة⁽¹¹⁾، نلاحظ جدول رقم (6).

المراتب النهرية Basin order

يمكن تمثيل هذا المتغير على شكل منظومة تسلسليّة تعتمد على الرتبة الاولى، كما ذكر هورتون في قانونه، ان اعداد المجرى المائي تتدرج تناصصياً في مجموعها فتبدأ من اعلى رتبة وتزداد تبعاً لذلك نسب الرتب، ويمكن اعتبار المراتب الدنيا بمثابة العمود الفقري الذي يغذي المجرى الرئيسي بالمياه خلال موسم الامطار وهذا راجع الى طبيعة هذه المجرى اذ اختلفت اطوالها وانحدراتها فقللت اطوالها وزادت درجة انحدارها في المراتب العليا الاولى والثانى، فبلغت، نحو (1، 5، 9، 3)، اما الرتب المتبقية فازدادت اطوالها وقللت انحدراتها، (جدول رقم 5)، وهي اكثر المناطق تعرضاً لخطر الفيضان⁽¹²⁾.

نسبة التشعب Bir furcation

هو النسبة بين عدد مجري مرتبة ما والمرتبة التي تليها مباشرة، ويعد معدل نسبة التشعب من المتغيرات المورفومترية الهامة لكونه يتحكم في معدل تصريف الاحواض النهرية، ويتصف حوض منطقة الدراسة عموماً باختفاء دلائلية خطير الفيضان، وهذا راجع الى الشكل المستطيل الذي يتذبذب الحوض، إذ يؤدي هذا الشكل الى ارتفاع معدلات التسرب لشدة تقطيع الحوض بفعل مجاريه وبالتالي تزداد كثافة التصريف فتتوزع مياه الامطار على عدد كبير من المجرى المائي، أما اذا كانت نسبة التشعب قليلة العدد فيحدث العكس، على ان المعدل الطبيعي لنسب التشعب يتراوح من (3-5)، ومن الجدول رقم (6) يتضح بان معدل التشعب لأحواض وادي دويريج لا تخرج عن المعدل العام.

تقدير ارقام GIUH stimation Parmater of (GIUH)

ان فكرة (GIUH) قدمت لأول مره في عام (1945) ولاشتراق (GIUH) يتطلب معلمتين (tow parameter) هما:
 1. زمن التركيز (Tc) ومعامل التخزين (R)، مع الاخذ بنظر الاعتبار ان زمن التركيز (Tc) في نهج كلارك يختلف بعض الشيء عن تلك المستخدمة في اماكن اخرى للهيدرولوجيا، فهو يمثل وقت السفر الذي يحسب اخرقطرة من فائض الامطار لاحواض المائية⁽¹³⁾، وتنطلب هذه الطريقة بيانات عن السرعة، والتي قد لا تكون متوفرة في الاحواض المائية، على ان حساب قيم كل من (Tc) و (R) يمكن ان يكون من خلال مساواة (GIUH) وذرورة التصريف ، وهذا بدوره يتطلب علاقة متوازنة بين قمة التصريف وكثافة او شدة المطر وسرعة التدفق، وتحدد قيم (A) ومعامل التخزين (R) نستخدم العلاقة الرياضية التالية⁽¹⁴⁾، مع الاستعانة بطريقة (نيوتون روبسون)،

$$Ui = \left(\frac{\Delta t}{R+0.5\Delta t} \right) li + \left(\frac{R-0.5\Delta t}{R+0.5\Delta t} \right) U_i \quad \dots \dots \quad (9)$$

حيث ان (ui) يمثل الفترة الزمنية لوحدة انية المخطط المائي (IUH) و (Li) يمثل تنسيق احداثي الزمن العمودي ، بينما نستخرج القيمة الكلية (R) من خلال القانون التالي⁽¹⁵⁾،

$$R = 16.4L^{0.342} S^{-0.790} \quad \dots \dots \quad (10)$$

جدول رقم (5) اطوال ومساحات مجاري احواض وادي دويريج

حوض رقم (2)				حوض رقم (1)				حوض دويريج الرئيسي				المرتبة
شبه المساحة	مساحة المجاري كم	شبه الطول %	اطوال المجاري كم	شبه مساحة %	مساحة المجاري كم	نسبة الطول %	اطوال المجاري كم	نسبة المساحة %	مساحة المجاري كم	نسبة طول %	اطوال المجاري كم	
37.9	150	51.3	310	50.7	260	39.8	483	37.6	935	50.39	1851	1
31.6	125	27.8	168	26.9	154	23.5	256	31.76	790	25.9	953	2
17.2	68	11.7	70	11.0	105	16.05	105	10.85	270	12.69	465	3
8.8	35	5.7	37	6.5	75	11.5	62	8.64	215	4.32	159	4
4.5	18	3.5	20	4.9	60	9.15	47	3.09	77	1.87	69	5
								8.06	200	4.79	176	6
100	396	100	605	100	654	100	953	100	2487	100	3673	المجموع

المصدر:- 1. المرتبة الفضائية بالاعتماد على القمر 2013 Arc Gis Landsat باستخدام برنامج q.3.

الاسم الحوض	حوض رقم (1)	حوض رقم (1)	المجموع
مساحة الحوض	2487	654	396
نسبة مساحة الحوض %	17,5	18,5	18,5
طول الحوض /كم	115	41	29
نسبة طول الحوض /%	62,7	16,22	15,7
عدد المرتبة 1	2200	625	282
اطرالهاكم	1581	483	310
نسبة التشغيل			
عدد المرتبة (2)	461	123	89
اطرالها /كم	953	256	168
نسبة التشغيل	5,3	4,6	4,6
عدد المرتبة (3)	118	32	25
اطرالها /كم	465	105	70
نسبة التشغيل	2,9	4,1	3,5
عدد المرتبة (4)	31	7	1
اطرالها /كم	159	62	37
نسبة التشغيل	3,8	4,5	6,2
عدد المرتبة (5)	7	1	1
اطرالها /كم	69	47	20
نسبة التشغيل	3,8	7	4
عدد المرتبة (6)	1		
اطرالها /كم	136		
نسبة التشغيل	8		
معدل نسبة التشغيل	4,9	4	1,2

المصدر:- 1. المرئية الفضائية بالاعتماد على القمر Landsat باستخدام برنامج Gis q.3 . 2013.

2. المعادلات الحسابية.

حيث ان (R) معامل التخزين/ ساعة، (16.4) معامل ثابت، (L) طول الحوض/ ميل، (S) انحدار الحوض، ومن تطبيق المعادلين (1) و (9)، فان اعلى كمية لحجم الجريان السطحي والمحسوبة بطريقة (ScS) لحوض دويريج الرئيسي بلغت ($3.4 \text{ m}^3/\text{ث}$) يقابلها اعلى نسبة تخزن لنفس الحوض بمقدار (210.2/ساعة) لعاصفة مطرية بلغت (2172ملم) وبمدة زمنية قدرت بنحو (42.58/ث) واقفلا لها لحوض رقم (2) بكمية تصريف (2.09 $\text{m}^3/\text{ث}$) واقفلا لها لحوض رقم (2) بكمية تصريف بلغت (118.16/ثانية) جدول رقم (5)، اما قيم كمية التصريف الكلية للأحواض والمحسوبة بطريقة (SCS) فقد تبأنت هي الأخرى من أعلى كمية لحوض دويريج الرئيسي والمقدره بنحو (1066.7 $\text{m}^3/\text{ث}$) يقابلها قيمة خزن بمقدار (888.5/ساعة)، ثم حوض رقم (1) و(2) يلاحظ جدول رقم (7)، ان هذا التباين في قيم الجريان السطحي ومعامل التخزين و زمن التركيز ناتج عن التباين الصخري وتتنوع الترب فضلا عن الاختلافات في مساحة وطول الاحواض والانحدار، والتي تكون اقوىها في حوض رقم (1، 2) نسبة الى حوض دويريج الرئيسي، اما قيم زمن التركيز (Tc) للزخات المطرية العشرة في محطة ايام، فتحسب من خلال العلاقة بين كل من الانحدار والسرعة والشدة المطرية، إذ من المعروف ان المنحدرات من العوامل الأساسية المؤثرة على السرعة المتركونة من عوامل طبيعية متمثلة بكل من التضاريس والمناخ والوضع الجيولوجي والتربة والعمليات الجيومورفولوجية، فاتساع نطاق الحت يزيد من درجة الانحدار مما يؤدي الى قلة الترسيب والنفاذية وبالتالي زيادة كمية وسرعة الجريان السطحي الذي يمثل التفريع المتوقع لمخرج الحوض، وبشكل عام فان نسب الانحدار منخفضة لأحواض منطقة الدراسة فهي تتراوح ما بين (11.8%) لحوض دويريج الرئيسي الى (7.24%) و (2.44%) لحوض رقم (1، 2) على التوالي، وهذا يعني مؤشر على انخفاض نسبة السيلول والفيضانات في المنطقة، وتعرف الشدة المطرية (Excess Rain full) على انها كمية المياه الساقطة في منطقة ما وخلال فترة زمنية محددة تقدر بالساعة او 2 او 24 ساعة، اذ تقييد الشدة المطرية في تقدير كمية الجريان السطحي فلا يكون جريان سطحي الا اذ كانت شدة المطر اكبر من قدرة السطح على الترشيح اما اذا كانت اقل من ذلك فيذهب الى باطن الارض (مياه جوفية) عن طريق التسرب ويستثنى من ذلك مناطق الصخور الصلبة والشديدة الانحدار فيحدث فيها فيضانات حتى اذا كانت شدة الامطار اقل من (5 ملم)⁽¹⁶⁾، على ان الموجات الفيضانية لمنطقة الدراسة عادة ما تحدث في شهر كانون الثاني واذار، وهذا راجع الى زيادة التساقط المطري، اما في الربيع والخريف فترجع زيادة الشدة المطرية مع ذوبان الثلوج المنحدرة من الجبال الإيرانية ، وتحسب الشدة المطرية حسب القانون الرياضي التالي⁽¹⁷⁾،

$$ir = 3.60Q/Ac \dots \dots \dots (11)$$

حيث ان (ir) يمثل متوسط شدة الامطار بملم/ثا، (3.60) معامل ثابت، (Q) حجم التصريف $\text{m}^3/\text{ث}$ ، (Ac) مجموع مساحة الحوض km^2 ، على افتراض ان سرعة تدفق الامطار ثابتة على طول المجرى النهري مع الوقت ولمختلف العوائق المطرية، ومن تطبيق المعادلة اعلاه، قدرت قيمة الشدة المطرية ما بين (0.198) و (0.228) ملم/ساعة، كاعلى وانخفاض شدة مطرية لحوض دويريج الرئيسي وحوض رقم (2) على التوالي ولزخة مطرية بلغت نحو (102ملم) و (32ملم) على التوالي اما القيم الاخرى فتوزعت حسب جدول رقم (8)، بينما تقدر سرعة تدفق زيادة متوسط كثافة الامطار ل العاصفة ما على اساس المعادلة التالية⁽¹⁸⁾،

$$V = \begin{cases} 1.720(\bar{ir})^{0.342}, & 0 < \bar{ir} \leq 0.6 \quad (R^2 = 0.848) \\ 1.922(\bar{ir})^{0.165}, & 0.6 < \bar{ir} \leq 3.0 \quad (R^2 = 0.517) \\ 2.33(\bar{ir})^{0.178}, & \bar{ir} > 3.0 \quad (R^2 = 0.9531) \end{cases} \dots \dots \dots (12, 13, 14)$$

ومن خلال تطبيق معادلة رقم (13) وبالاعتماد على نتائج معادلة رقم (11) بلغت اعلى سرعة مسجلة لحوض رقم (1) وزخة مطرية قدرها (103ملم) واقفلا لها لحوض دويريج الرئيسي، بينما توزعت قيم السرع للأحواض المتبقية ولعشر زخات مطرية لمحطة ايام بشكل متفاوت وحسب جدول رقم (8)، ولحساب زمن التركيز نستخدم القانون التالي⁽¹⁹⁾،

$$Tc = 0.2778 L/v. \dots \dots \dots (15)$$

حيث ان (Tc) زمن التركيز بالدقائق، (0.2778) معامل ثابت، (L) طول المجرى/كم، (V) السرعة/م/ثا، ومن المعادلة (15) نجد ان اعلى قيمة لزمن التركيز كانت لزخة مطرية قدرها (102/ملم) لحوض دويريج الرئيسي اذ بلغت (67.612 /ثا) بينما كانت اقل قيمة (1.599 /ثا) لحوض رقم (1) ولنفس كمية الامطار، وبشكل عام تدل هذه القيم على بطئ وصول المياه الى مخرج جدول رقم (5)، وللحصول على قيم زمن التركيز الكلية للأحواض وادي دويريج نطبق الصيغة الرياضية التالية⁽²⁰⁾،

$$Tc = 1.54 L^{0.875} S^{0.181} \dots \dots \dots (16)$$

اذ ان (Tc) زمن التركيز بالساعة، (1.54) معامل ثابت، (S) معدل انحدار الحوض، ووفقا لحسابات زمن التركيز من المعادلة رقم (16)، فقد تبأنت القيم للأحواض ما بين (0.8/ساعة) لحوض دويريج الرئيسي وهي اعلى قيمة الى (3.2/ساعة) و (4.0/ساعة) لكل من حوض رقم (1، 2) على التوالي وحسب جدول رقم (9).

جدول رقم (7) قيم حجم الجريان السطحي (Q) لمعادلة (SCS-CN) ومعامل التخزين و زمن التركيز (TC,R)

حوض رقم (2)				حوض رقم (1)				حوض دويريج الرئيسي				السنوات	
معادلة (GIUH)		معادلة (scs-cn)		معادلة (GIUH)		معادلة (scs-cn)		معادلة (GIUH)		معادلة (scs-cn)			
قيمة / TC ثا	قيمة R بالساعة	حجم الجريان السطحي م³/ثا	عمق الجريان السطحي / م³	قيمة / TC ثا	قيمة R بالساعة	حجم الجريان السطحي م³/ثا	عمق الجريان السطحي / م³	قيمة / TC ثا	قيمة R بالساعة	حجم الجريان السطحي م³/ثا	عمق الجريان السطحي / م³		
8.32	12.2	20.46	51.69	21.8	22.78	35.57	54.4	42.74	124.3	136.7	55	98	
9.15	9.78	15.56	39.3	23.8	58.65	27.3	41.8	33.44	98.2	105.4	42.4	83	
9.98	5.92	11.88	30.5	17.6	10.5	21	32.17	35.03	78.8	81.3	32.7	71	
12	4	7	17.9	16.7	6	12.75	19.5	45.72	37.5	49.6	19.95	54	
16.3	2.42	2.85	7.2	22.5	2.68	5.75	8.2	16.24	10.3	21.1	8.49	36	
18.2	2.1	2.09	5.3	23.7	2.5.	5.36	6.15	67.61	21.2	86.5	6.37	32	
6.27	30.4	64.7	118.5	8.95	59.74	4	121.5	42.58	132	3.4	122	172	
8.14	10.9	21.78	55.5	11.5	18.9	79.46	57.8	31.64	103.1	145.4	58.5	102	
8.83	13.6	17.18	43.4	12.5	15	37.8	45.9	31.21	88.1	115.8	46.58	88	
9.62	48.5	99.07	33.88	13.6	13.75	23.5	36	37.12	88.1	92.2	36.7	76	
	126	158	400.6		215.5	276	424.4		888.5	1068	424		المجموع

المصدر : المعادلات الحسابية

جدول رقم (8) قيم (ir) و (v) لأحواض منطقة الدراسة

حوض رقم (2)		حوض رقم (1)		حوض دويريج الرئيسي			السنوات
قيمة (v) / م / ثا	قيمة (ir) / ملم / ساعة	قيمة (v) / م / ثا	قيمة (ir) / ملم / ساعة	قيمة (v) / م / ثا	قيمة (ir) / ملم / ساعة	اعلى زخة مطرية يومية/ملم	
0.968	0.186	0.536	0.033	1.292	0.799	98	2001
0.88	0.141	0.49	0.025	0.957	0.156	83	2002
0.807	0.108	0.682	0.067	0.912	0.118	71	2003
0.67	0.064	0.697	0.071	0.699	0.072	54	2004
0.493	0.026	0.518	0.03	0.522	0.031	36	2005
0.473	0.019	0.302	0.126	0.473	0.023	32	2006
1.283	0.425	1.302	0.443	1.3	0.441	172	2007
0.989	0.198	1.01	0.211	1.009	0.21	102	2008
0.911	0.156	0.933	0.167	0.934	0.168	88	2009
0.837	0.122	0.859	0.131	0.861	0.132	76	2010

المصدر : المعادلات الحسابية

تقدير حجم الجريان السطحي وذروة التصريف (q_p) و زمن الذروة (t_p) حسب طريقة (GIUH)

في عام 1979 اقترح كل من رواديجز وفالديز انه من المناسب افتراض ثلاثة وحدة آتية منحني التصريف البيني (GIUH)، والتي يعبر عنها من خلال (t_p) و (q_p)، اذ تمثل (q_p) ذروة التصريف والتي تشير الى اقصى تدفق للجريان السطحي مما ينتج عنه سيل، ويعبر عن معادلة ذروة التصريف بالشكل التالي⁽²¹⁾،

$$q_p = 1.31 R_l^{0.43} (v / L_\Omega) \dots \dots \dots \quad (17)$$

اذ ان (q_p) قمة التصريف/ ساعة، (1.31) معامل ثابت، (R_l) نسبة الطول/كم، (L_Ω) طول اعلى مرتبة بالمجرى/كم، اما (t_p) او (TL) والذي يعرف ايضا بزمن التباطؤ [Lage tim/ h]، وزمن الاستجابة الاولى والذي يمثل الوقت الفاصل بين بداية المطر وببداية توليد الجريان السطحي إذ يستفاد من دراسة زمن التباطؤ في التعرف على الوقت اللازم لبداية الجريان لكل حوض⁽²²⁾، ويحسب من خلال معادلة رقم (18)⁽²³⁾،

$$t_p = 0.44 (L_\Omega / v) (R_B / R_A)^{0.55} R_L^{-0.38} \dots \dots \dots \quad (18)$$

حيث ان (t_p) زمن التصريف/ ساعة، (0.44) ثابت، (L_Ω) طول اعلى مرتبة بالمجرى كم، (R_B) نسبة التشعب، (R_A) نسبة مساحة الحوض/ كم²، (R_L) نسبة الطول/كم، ومن تطبيق معادلة (18)، سجلت اعلى قيمة (t_p) (q_p) لحوض دويريج الرئيسي ثم حوض رقم (1)، على التوالي، يلاحظ جدول رقم (8)، في حين حسبت كمية التصريف لاحواض منطقة الدراسة وحسب طريقة (IUH)، على اساس معادلة رقم (19)⁽²⁴⁾،

$$Q = A \times V \dots \dots \dots \quad (19)$$

حيث ان (Q) يمثل حجم التصريف/م³/ثا، (A) مساحة المقطع العرضي/م²، (V) معدل السرعة/م³/ثا، ومن معادلة (19) قدرت كمية الجريان السطحي لحوض دويريج الرئيسي (1430.1/م³/ثا)، أما حوض رقم (1) و (2) فيتباين بالمرتبة الثانية والثالثة على التوالي اذ بلغ نصبيهما نحو (209.9/م³/ثا) و (120.2/م³/ثا)، يلاحظ جدول رقم (9).

جدول رقم (9) قيم (Q) و (Tc) و (q_p) و (t_p) لأحواض منطقة الدراسة بطريقة (GIUH)

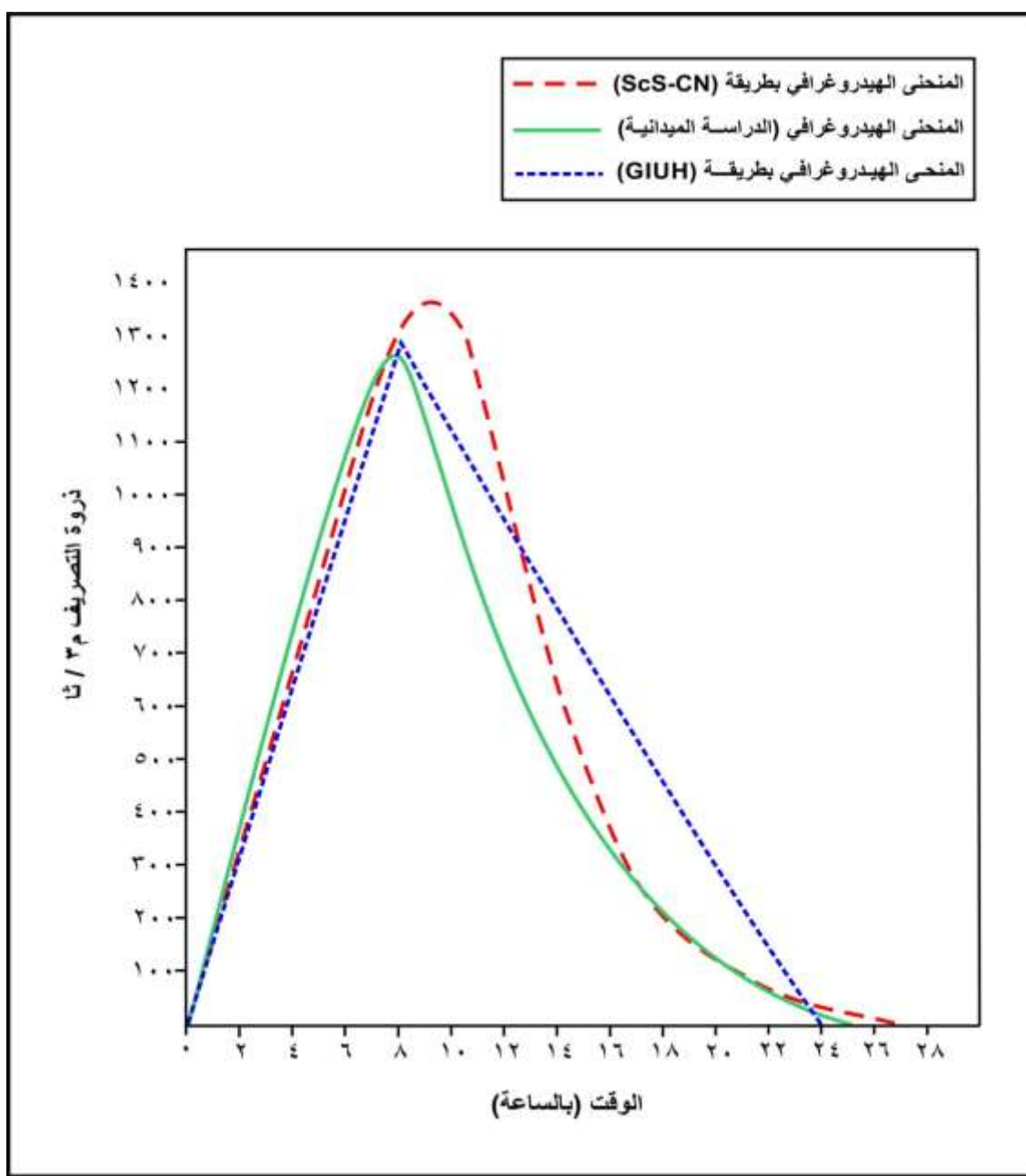
اسم الحوض	زمن التركيز الكلي للحوض ساعه/ T_c	ذروة التصريف q_p /م ³ /ثا	زمن الذروه t_p ساعه	حجم التصريف Q /م ³ /ثا
دويريج الرئيسي	8.5	989.2	4.2	1030.1
حوض رقم (1)	3.2	418.4	2.1	209.9
حوض رقم (2)	4.5	205.1	2.7	120.2

المصدر: المعادلات الحسابية.

المنحنى الهيدروغرافي بطريقة (SCS-CN) (Curve number hydrograph)

تعد الطريقة المقدمة من هيئة خدمات صيانة التربية واحدة من التقنيات الاكثر شيوعاً والناتجة من تدفق الذروات العالية ذات الفترات الزمنية القصيرة و المستمدۃ من المعلومات الجيومورفولوجیة لنقیم (Tc) والمستخرجة قیمتھا بدورها من خلال ادوات نظم المعلومات الجغرافية، على ان تدفق الجريان السطحي يتفاوت من وقت الى اخر خاصة اثناء استجابة الحوض لاحادث العواصف المطوية، وعن طريق المنحنی الهيدروغرافي (curve Hydrograph)، الذي يمثل استجابة الحوض للامطار الفعالة في مدة زمنية ينتج عنها جريان سطحي من فائض الامطار، والتي يمكن تمثيلها من خلال مخطط يصور الجريان السطحي المتعلق بالزمن، على ان المميزات الاساسية للمنحنی الهيدروغرافي تتضمن كل من الاطراف الصاعدة والنازلة وتدفق الذروة ، ينظر المخطط رقم (1) ، ومن تحليل المخطط رقم (1) نستنتج مايأتي :

مخطط رقم (1) المنحني الهيدروغرافي (curve Hydrograph) بالطرق الثلاثة لحوض وادي دويريج



المصدر:- بالاعتماد على المعادلات الحسابية

- بلغ حجم التصريف الكلي لحوض دويريج بطريقة (SCS-CN) نحو ($1052 \text{ m}^3/\text{ث}$) لذروة تصريف مقدر بنحو ($1362.4 \text{ m}^3/\text{ث}$) ولزمن تركيز بلغ (9 ساعة)، اما حجم التصريف الكلي بطريقة (GIUH) فبلغ ($1370.2 \text{ m}^3/\text{ث}$) ولذروة تصريف ($1298.4 \text{ m}^3/\text{ث}$) وبزمن تركيز (8 ساعة).
- 1- حسب الدراسة الميدانية المقدمة في تقرير وزارة الموارد المائية قسم السدود والخزانات فقد بلغت كمية المياه المنصرفة لمنطقة الدراسة ($1280 \text{ m}^3/\text{ث}$) وذروة التصريف ($1267 \text{ m}^3/\text{ث}$) بزمن (8,5 ساعة)*
 - 2- ان منحني الجريان المباشر والناتج من المطر الفعال بمقدار (1 سم) له استدامه مقدر بوحدات معينة، وهو يمثل الحد الفاصل لرسم الجريان السطحي والناتج مباشرة من كثافة الامطار الزائدة إذا كانت موزعة على منطقة الحوض.
 - 3- ان (GIUH) يتكون من هطول الامطار اللحظية مع زمن التركيز والذي يعرف بأنه الوقت بين نهاية سقوط الامطار نقطة محددة على المخطط البياني والذي يمثل قمة التصريف (qp).
 - 4- ان جميع عمليات الجريان السطحي للحوض وبالطريقتين المذكورتين فظلا عن الدراسة الميدانية بدأت بشكل فجائي ثم ارتفع تصريف قممها والذي غالبا ما يكون قمة واحدة فقط ، وهذا راجع الى الشكل المستطيل للحوض اذ يحتاج فيه الجريان السطحي لوقت اطول للوصول الى القمة او تكون الامطار الساقطة فيه متقطعة ، وبعدها يبدأ الجريان بالانخفاض وبشكل سريع وقرب نهايته يستمر لفترة طويلة ثم يتلاشى .

الاستنتاجات

1. في هذا البحث تم تقدير المعلمات المائية لكلارك و (ScS-CN) باستخدام الخصائص الجيومورفولوجية لأحواض منطقة الدراسة، وكما هو متوقع فإن قيم (ScS-CN) مبالغ في تقديرها نسبة إلى القيم المقاسة من خلال نهج (GIUH) وهو مناسب أكثر لرسم المخطط المائي.
2. يلاحظ تأثير الخصائص المورفولوجية للأحواض على شكل المخطط الهيدروكرافي (رقم 1) والناتج من العواصف المطرية فضلا عن اختلاف كل من حجم التصريف والذروة وזמן الوصول إلى الذروة بين أحواض الوادي، فوجد ان وادي دويريج الرئيسي يولد اكبر كمية جريان واعلى تصريف وزمن ذروة ثم حوض رقم (1, 2)، لكونه يمتلك اكبر مساحة، ثم الحوضين المذكورين وكلما الطريقتين.
3. ان المعلومات الجغرافية للطريقتين يمكن اشتقاقة من برنامج (GIS) باستخدام نظم المعلومات الجغرافية.
4. ان (GIUH) تشير إلى تدفق الجريان السطحي المباشر (DRH) والتي تنتجهما الأحواض المائية لكل ملم من الامطار الزائدة لذا تستخدم الوحدات (م و ثا وملم).
5. ان الجريان السطحي لطريقة (GIUH) اكثر حساسية لقيمة (R) من (Tc) لكونه العامل الاساسي لنشوء الجريان السطحي، اما معادلة (ScS-CN) فهي اكثر حساسية لنوع التربة والغطاءات الارضية.
6. يلاحظ بأنه كلما زادت نسبة المطر الفعال ازدادت نسبة معامل التخزين (R) يقابلها زيادة في حجم الجريان السطحي، وهذا يتضح من خلال الارقام المسجلة للعواصف المطرية وما يقابلها من قيم تخزين وقيم لحجم الجريان السطحي وحسب معادلة (GIUH) و (ScS-CN) والموضحة في الجدول رقم (7) على ان هذا يعتمد على المتغيرات الجيومورفولوجية للأحواض المنطقية، كما يعزى الى اختلاف الوقت الذي يستغرقه الزمن لدخول الخزان الخطي (R).
7. من معطيات الدراسة الميدانية لمنطقة الدراسة فإن حجم الجريان السطحي لـ لحوض بلغ ($1280 \text{ m}^3/\text{ث}$) بينما قدرت ذروة التصريف ($1267 \text{ m}^3/\text{ث}$) بزمن (8,5 ساعة).

التوصيات

1. انشاء محطات لقياس سقوط الامطار وجعلها نقطة مرجعية بدلا من موقع تدفق الماء او السيول.
2. استخدام برنامج (GIS) وتقنية الاستشعار عن بعد والذي سيساهم من نتائج هذه الدراسة اذ يستعاض عن البيانات التقليدية بأخرى يمكن الحصول عليها من خلال الاقمار الصناعية وهذا يساعد على دقة تقدير السيول المتوقعة والمناطق التي تغمرها.
3. الافادة من مياه الوادي من خلال بناء السدود وانشاء مشاريع رعوية وزراعية في المنطقة.
4. اجراء دراسات مماثلة بالاعتماد على النماذج التجريبية المذكورة في البحث لقياس معدل الجريان مع الاخذ بنظر الاعتبار اهمية تأثير الخصائص المورفومترية والغطاء النباتي ونظام هطول الامطار في المنطقة.

الهوامش:

- (1) Sarmad Ali and Other, tecton- stratigraphy and genral structure of the Iraq- Iran northwestern zagros collision zone across the Iraq- Iran border, journal of Environment and Earth science-vo104 No-47, 2014,p-92-94.
- (2) دراسة هيدرولوجية وهيدروكيميائية لمنطقة لوحة العماره، الشركة العامة للمسح الجيوجي والتدين، وزارة الصناعة والتدين، جمهورية العراق، 2005 ، ص.6.
- (3) بانك كشا ورزى سيمای اب و هوای، اقلیم و منابع اب ایلام زمستان، 1988 ، ص.3.
- (4) Us Departmen pf Agriculture, soill cohservation servie National Engineering Handbook section 4-Hydrology, washinton Ds- 1985, p 35.
- (5) لهليت، لينا عمر، تحليل الامطار والجريان السطحي للأودية المساهمة بالبحر الميت- وادي العوج، رسالة ماجستير غير منشورة، جامعة النجاح الوطنية، 2003 ، ص.21.
- (6) داود، جمعة، تقييم مخاطر الفيضانات المفاجئة بمدينة مكة المكرمة بالاعتماد على نظم المعلومات الجغرافية، ايجي ماتكس مجلة سنوية، متخصصة في علوم نظم المعلومات الجغرافية والاستشعار عن بعد، العدد 3، يناير، 2012 ، ص.5.
- (7) ج اشوب واخرون، ترجمة د علي فهد، هندسة وصيانة التربة والمياه جامعة بغداد 1966 ، ص.110.
- (8) Rahgunath, H.M.R, Hydrology, principles, analysis, design, revised second edition, new age intemational itd. Pup lishts, 2000, p.46.
- (9) Ministry of water resources center of studies and Engineering preliminary report of Asteel daam December, 2009, p26-27.
- (10) R.K Bai and other, GIUH Based trahs for function for Gomti river Basin of india, journal of Hydrology, voi. 9, No 2, 2009, p41.
- (11) الحسبان، يسري، دلال زريقات، الخصائص المورفومترية لحوض نهر الزرقاء في الاردن باستخدام تقنية نظم المعلومات الجغرافية والتضرس الرقمي، دراسات العلوم الانسانية والاجتماعية، المجلد 42، ملحق (1)، 2015 ، ص.1284.
- (12) علوان، نوال كامل، تقرير حجم الجريان السطحي لحوض وادي دويريج، رسالة ماجستير غير منشورة، جامعة بغداد، كلية التربية للبنات، 2014 ، ص.55.
- (13) Mohamad Masood and other, Estimation of clarck instantaneous unit Hydrograph parameter suface Run off Hydroraph, Watear Resours manage, springer Sciense, B.V. 2009, p2-3.
- (14) Arsh ABID and other, Comparison between Gc IUH – Clarck, – Nash, Turkish, Env –Sci – 34, 2010, p95.
- (15) S. mulching, and kley E. Kocher, Equati ons for Estimating clarck uniz-tlydro graph parameters for small Rural watersheds in Illinois, US Deportment for the interior, U.S, Geologlcal Survey, Report-00-4184, 2000, p.12.
- (16) السوالمة، محمد احمد عيسى، كفاءة الناتج المائي في احواض وادي العرب، وادي كفرنه، وادي شعيب، رسالة ماجستير غير منشورة، جامعة مؤته، 2008 ، ص.58-68.
- (17) Bhabagrahi shoo and other, food Estimation by GIUH-based ckarck and Nash Modeis, Journal of Hydrologici Engineering, November, dember 2006, p517.
- (18) Bhabagrahi shoo and other, food Estimation by GIUH-based ckarck and Nash Modeis, Journal of Hydrologici Engineering, November, dember 2006, p517.
- (19)Rakesh kumar and other Estimatiom for an ungaudad catchment using geomorphological instaneous unit hydrology, Agricultural and food Engineering department, Indian of technology kharagpur wast Bengal, india, 2007, p.1832.
- (20) S. melching, and kyle and other, Equations for Estimation clarck uniz-Hydrograph parameter for small Rural Watersheds in Illinois, Us, deprtment of the interior, U.S. geological Survey, Report, 00-4184-2000, P.12.
- (21) Rakesh Kumar and other , Analysisi of the (GIS) based clarck model for catchment, National institute of Hydrology, Roorkee, india, 29, March, 2002. P. 264.

- (22) الودعاني، علي سلمان، مخاطر السيول في منطقة جازان جنوب غرب المملكة العربية السعودية (منظر جيومورفولوجي)، مجلة جامعة جازان، فرع العلوم الإسلامية ، م 3، 2014، ص 45.
- (23) Rakesh kumar and Analysisi of the (GIS) based clarch model for catchment, National institute of Hydrology, Roorkee, india, 29, March, 2002. P. 264.
- (24) البارودي، محمد سعيد، تقدير احجام السيول ومخاطرها عند المجرى الاندى لوادي عرنه جنوب شرق مدينة مكة المكرمة باستخدام نظم المعلومات الجغرافية، الجمعية الجغرافية المصرية، العدد 48، 2012، ص 25.
- Dr.Maha R..Abdul Hamed, Dr.Maher Abdul Kadhem,Ministry of Water Resources,Central of Studies Engineering Designs , Hydrological ,Study for ,AL Shahabi,AL-teeb and Diwarij Dams ,P33,Dec,2009.

المصادر:

1. ج اشوب واخرون، ترجمة د علي فهد، هندسة وصيانة التربة والمياه جامعة بغداد 1966.
2. لهليت، لينا عمر، تحليل الامطار والجريان السطحي للاوية المساهمة بالبحر الميت- وادي العوج، رسالة ماجستير غير منشورة، جامعة النجاح الوطنية، 2003.
3. علوان، نوال كامل، تقدير حجم الجريان السطحي لحوض وادي دويريج، رسالة ماجستير غير منشورة، جامعة بغداد، كلية التربية للبنات، 2014.
4. السوالمة، محمد احمد عيسى، كفاءة الناتج المائي في احواض وادي العرب، وادي كفرنه، وادي شعيب، رسالة ماجستير غير منشورة، جامعة مؤتة، 2008.
5. داود، جمعة، تقييم مخاطر الفيضانات المفاجئة بمدينة مكة المكرمة بالاعتماد على نظم المعلومات الجغرافية، ايجي ماتكس مجلة سنوية، متخصصة في علوم نظم المعلومات الجغرافية والاستشعار عن بعد، العدد 3، ينابير، 2012.
6. الحسبان، يسرى، دلال زريقات، الخصائص المورفومترية لحوض نهر الزرقاء في الاردن باستخدام تقنية نظم المعلومات الجغرافية والتضرس الرقمي، دراسات العلوم الانسانية والاجتماعية، المجلد 42، ملحق (1)، 2015.
7. الودعاني، علي سلمان، مخاطر السيول في منطقة جازان جنوب غرب المملكة العربية السعودية (منظر جيومورفولوجي)، مجلة جامعة جازان، فرع العلوم الإسلامية ، م 3، 2014.
8. البارودي، محمد سعيد، تقدير احجام السيول ومخاطرها عند المجرى الاندى لوادي عرنه جنوب شرق مدينة مكة المكرمة باستخدام نظم المعلومات الجغرافية، الجمعية الجغرافية المصرية، العدد 48، 2012.
9. دراسة هيdroلوجية وهيدروكيميائية لمنطقة لاحة العمارة، الشركة العامة للمسح الجيوجي والتعدين، وزارة الصناعة والتعدين، جمهورية العراق، 2005.
10. .Maha R.Abdul Hamed ,DrMaher Abdul Kadhem,Ministry of Water Resources,Central of Studies Engineering Designs , Hydrological ,Study for ,AL Shahabi,AL-teeb and Diwarij Dams ,P33,Dec,2009.
11. بانك کشا ورزی سیمای اب و هوای، اقليم و منابع اب ایلام زمستان، 1988
12. کروه وشناسی ایران، بارش، روزانه دستکاه واردہای منتشر، نشرة اب و هوای ایلام ،2012.
13. مجید منتظری، تحلیل زمانی و مکانی ، بارش های فرین ، روزانه در ایران ، مجله جغرافیا و برنامه ریزی محیطی، 2011.
14. Sarmad Ali and Other, tecton- stratigraphy and genral structure of the Iraq- Iran northwestern zagros collision zone across the Iraq- Iran border, journal of Environment and Earth science-vo104 No-47, 2014.
15. Rahgunath, H,M.R, Hydrology, principles, analysis, design, revised second edition, new age international itd. Pub lishts, 2000.
16. R.K Bai and other, GIUH Based trahs for function for Gomti river Basin of india, journal of Hydrology, voi. 9, No 2, 2009.
17. Mohamad Masood and other, Estimation of clarck instantaneous unit Hydrograph parameter suface Run off Hydroraph, Water Resources manage, springer Sciene, B.V. 2009.
18. Arsh ABID and other, Comparison between Gc IUH – Clarck, – Nash, Turkish, Env –Sci – 34, 2010.
19. Bhabagrahi shoo and other, food Estimation by GIUH-based ckarck and Nash Modeis, Journal of Hydrologici Engineering, November, dember 2006.

20. Rakesh kumar and other Estimation for un ungaudad catchment using geomorphological instantaneous unit hydrology, Agricultural and food Engineering department, Indian of technology kharagpur west Bengal, india, 2007.
21. S. melching, and kyle and other, Equations for Estimation clarck uniz-Hydrograph parameter for small Rural Watersheds in Illinois, Us, deprtment of the interior, U.S. geological Survey, Report, 00-4184-2000.
22. Us Departmen pf Agriculture, soill cohservation servie National Engineering Handbook section 4-Hydrology, washinton Ds- 1985.
23. Ministry of water resources center of studies and Engineering preliminary report of Asteel daam December, 2009.
24. S. mulching, and kley E. Kocher, Equati ons for Estimating clarck uniz-tlydro graph parameters for small Rural watersheds in Illinois, US Deportment for the interior, U.S, Geological Survey, Report-00-4184, 2000.